

FIG. 1

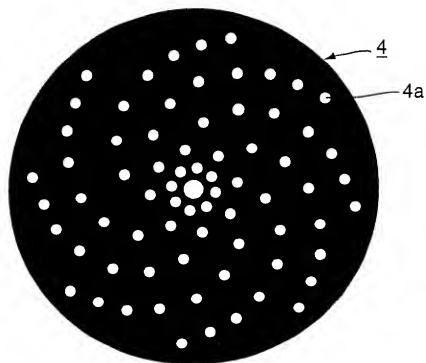
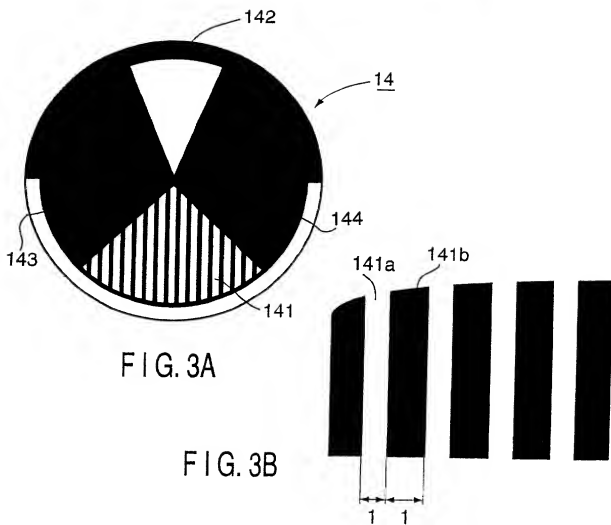


FIG. 2



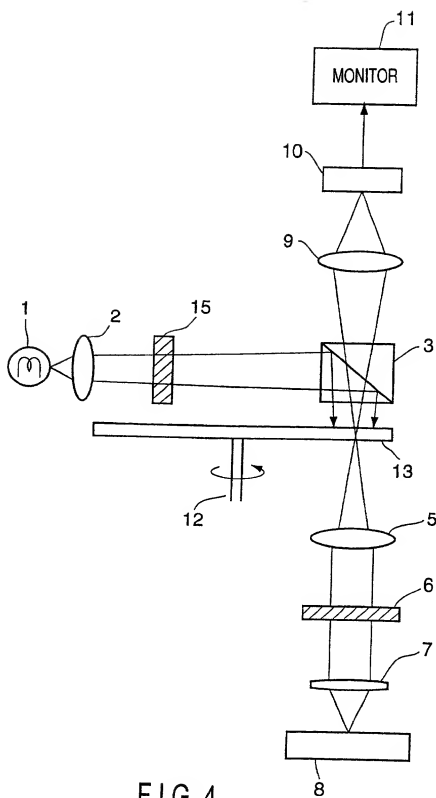


FIG. 4

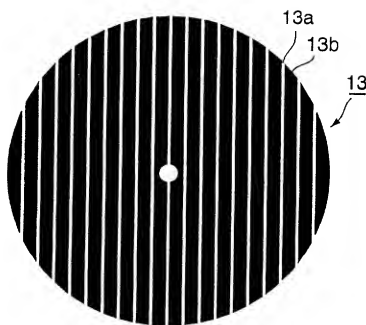


FIG. 5A

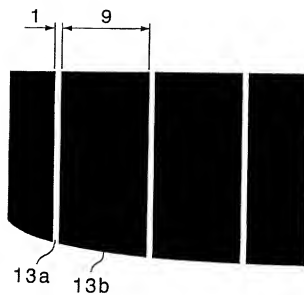


FIG. 5B

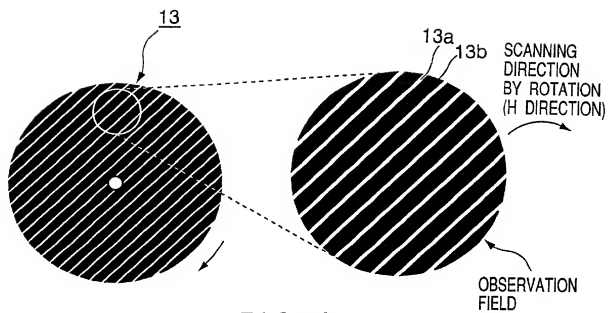


FIG. 6A

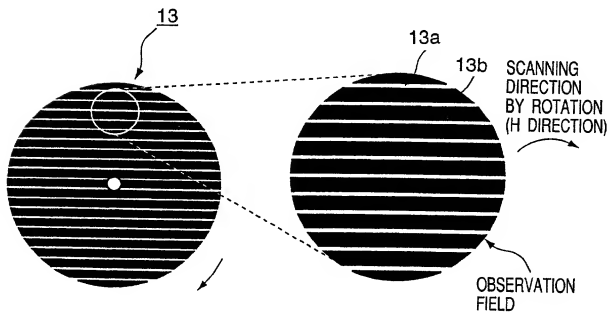


FIG. 6B

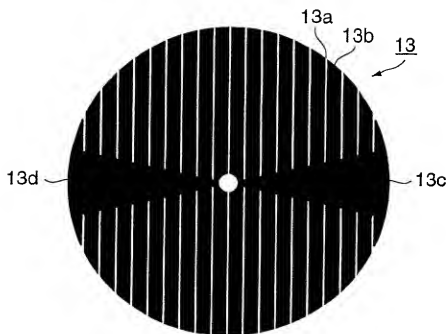


FIG. 7

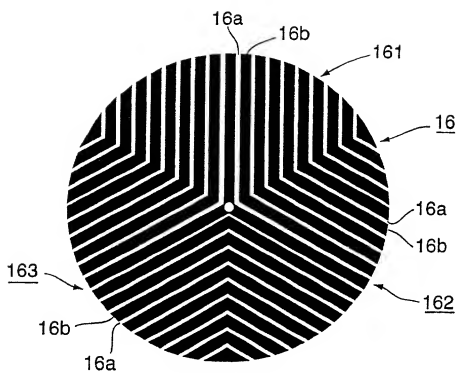


FIG. 8

7/23

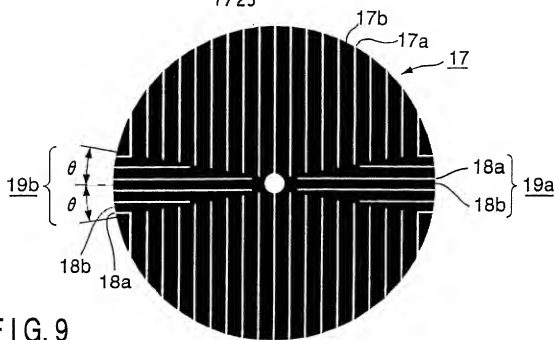


FIG. 9

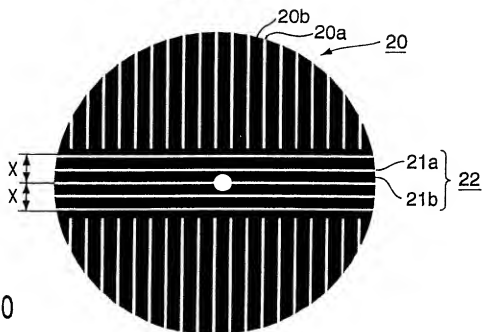


FIG. 10

R [mm]	θ [°]	X [mm]
20	10.5	3.64471
30	7	3.65608
40	5.2	3.625303
50	4.2	3.66191
60	3.5	3.662912
70	3	3.663517

FIG. 11

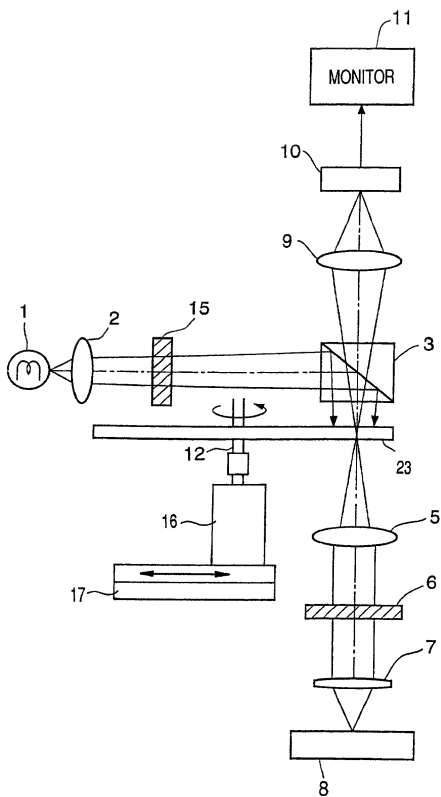


FIG. 12

MOVEMENT OF OBSERVATION FIELD

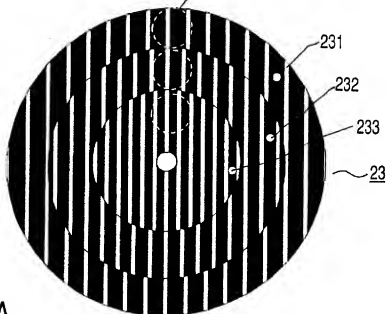


FIG. 13A

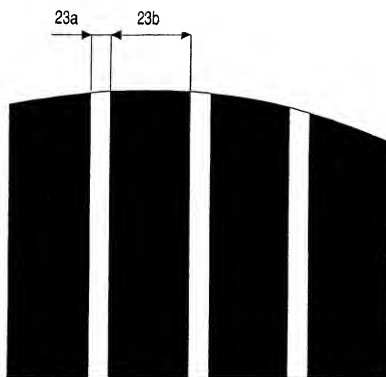


FIG. 13B

MOVEMENT OF OBSERVATION FIELD

ROTATION
DIRECTION (H)

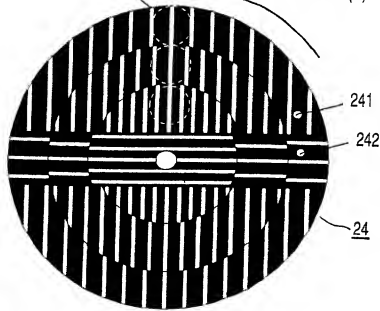


FIG. 14

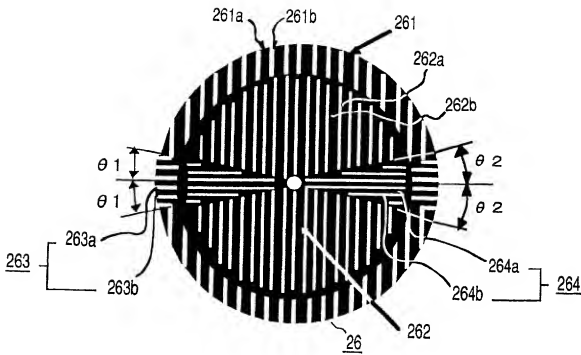


FIG. 16

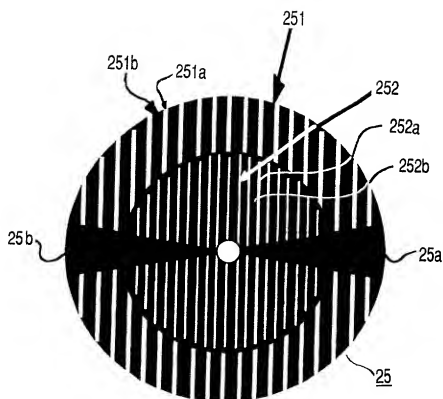


FIG. 15A

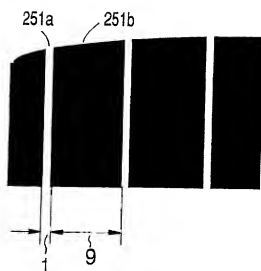


FIG. 15B

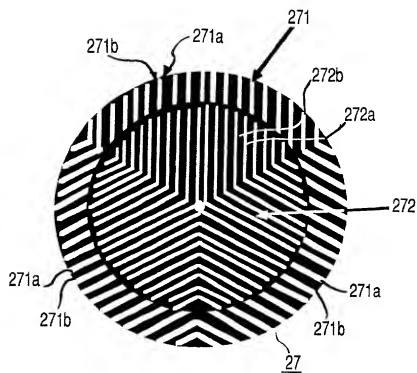


FIG. 17

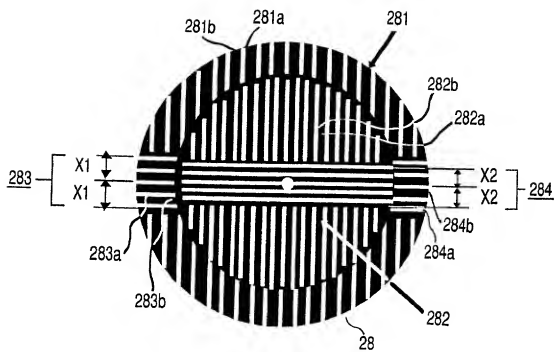


FIG. 18

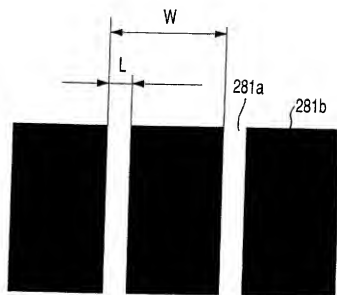


FIG. 19

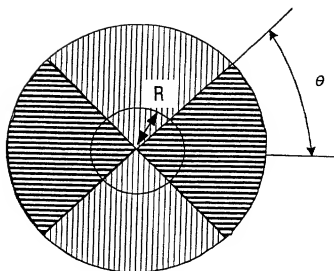
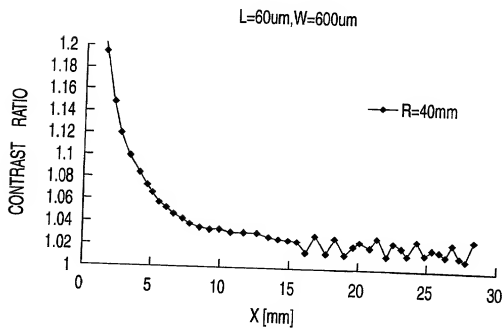
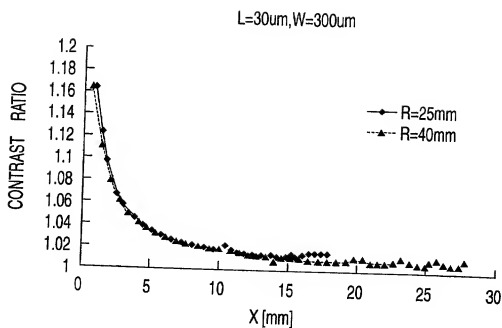


FIG. 20



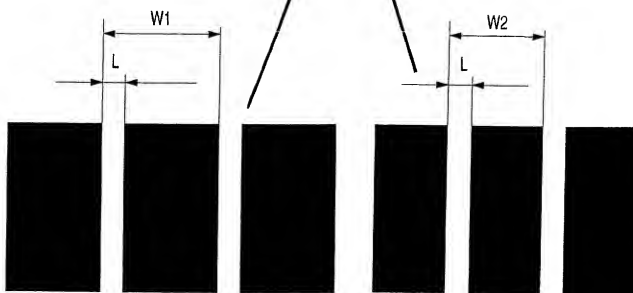
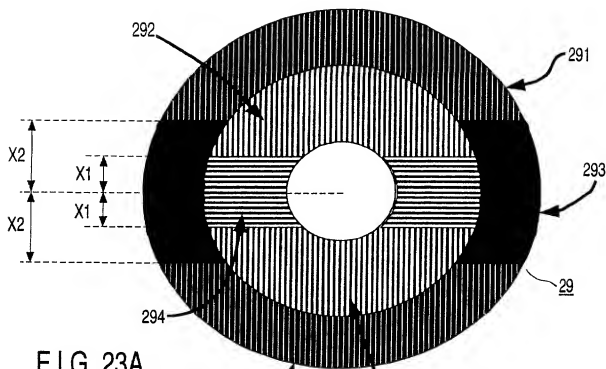
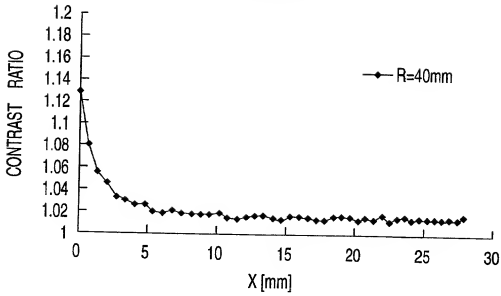


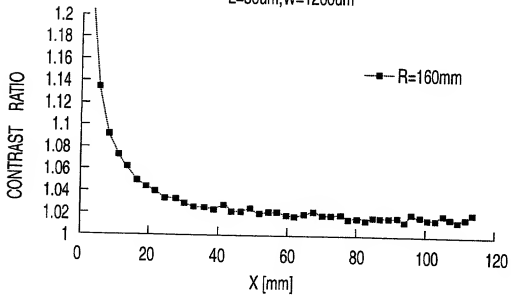
FIG. 23B

L=30um, W=150um



F I G . 24

L=30um, W=1200um



F I G . 25

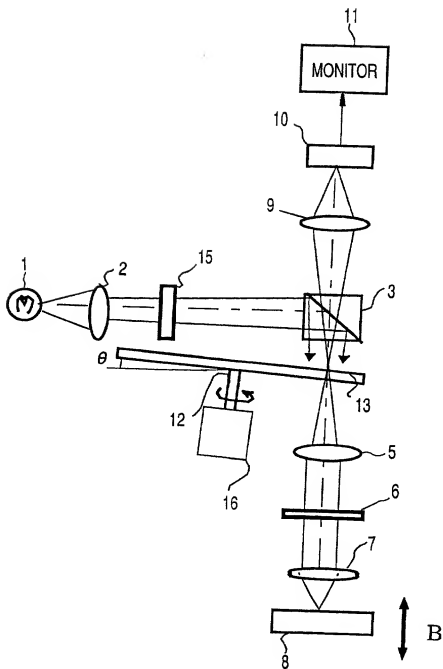


FIG. 26

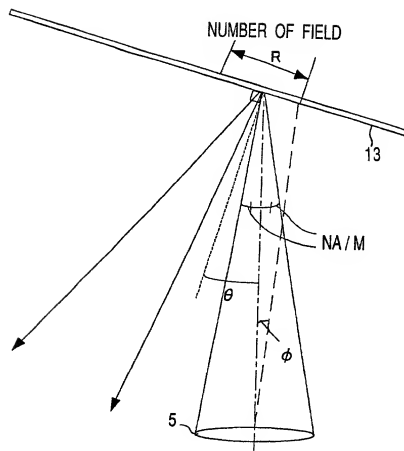


FIG. 27

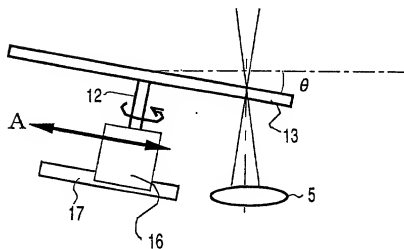


FIG. 28

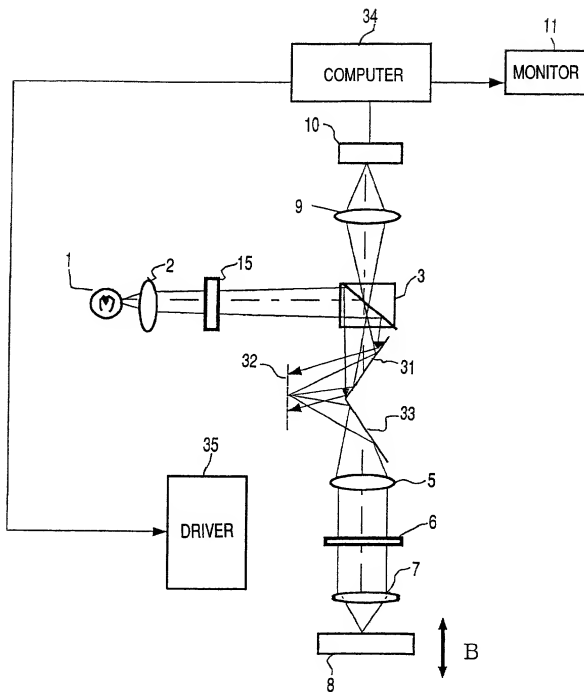


FIG. 29

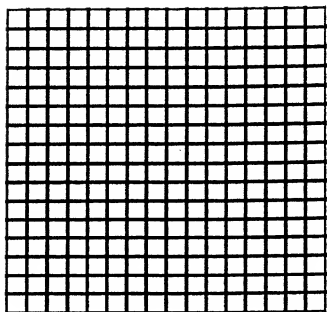


FIG. 30A



FIG. 30B

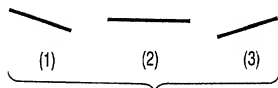


FIG. 30C

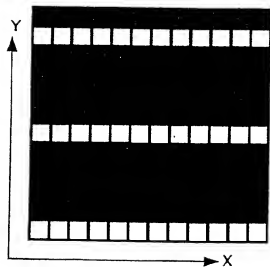


FIG. 31A

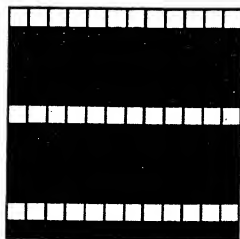


FIG. 31B

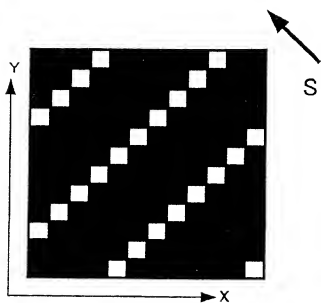


FIG. 32A

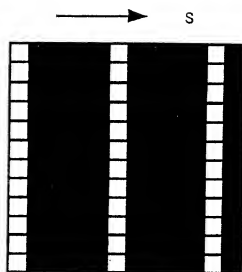


FIG. 32B

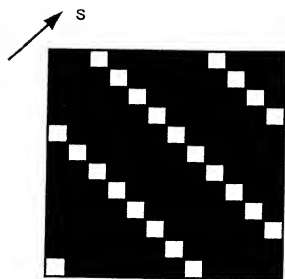


FIG. 32C

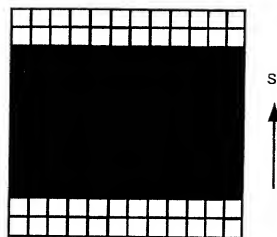


FIG. 32D

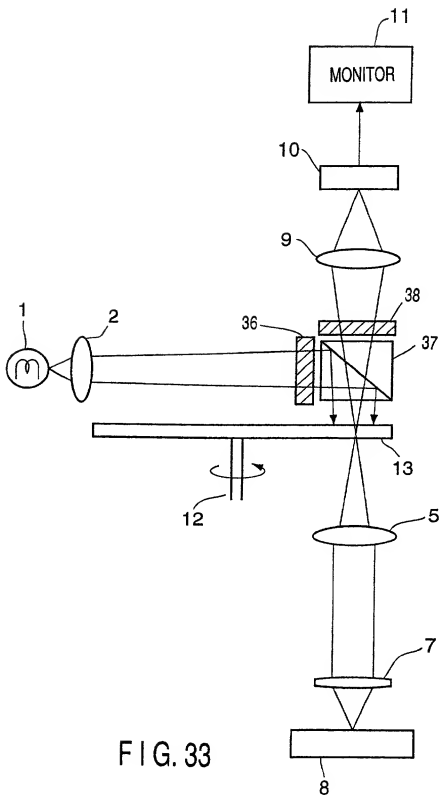


FIG. 33

FIG. 34

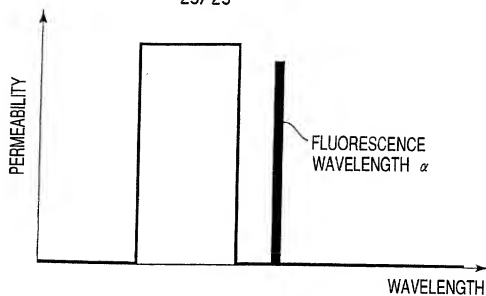


FIG. 35A

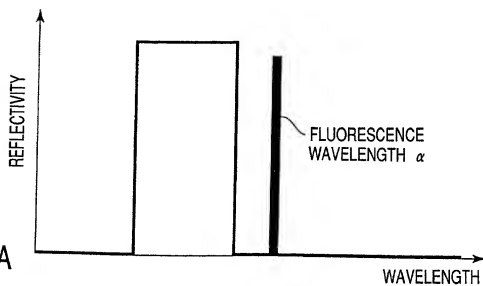


FIG. 35B

